

УДК 546.42'65'631

**Ю.О. Тітов <sup>а</sup>, Н.М. Білявина <sup>а</sup>, М.С. Слободяник <sup>а</sup>, В.В. Чумак <sup>б</sup>, О.І. Наконечна <sup>а</sup>**

## СИНТЕЗ ТА КРИСТАЛІЧНА СТРУКТУРА ІЗОВАЛЕНТНОЗАМІЩЕНИХ ШАРУВАТИХ СКАНДАТИВ $\text{SrLa}_{2-x}\text{Dy}_x\text{Sc}_2\text{O}_7$

<sup>а</sup> Київський національний університет імені Тараса Шевченка, м. Київ, Україна<sup>б</sup> Житомирський державний університет ім. Івана Франка, м. Житомир, Україна

Встановлені умови ізовалентного заміщення атомів лантану на атоми диспрозію в А-позиції двошарової перовськітоподібної структури  $\text{SrLa}_2\text{Sc}_2\text{O}_7$  по типу  $\text{SrLa}_{2-x}\text{Dy}_x\text{Sc}_2\text{O}_7$ :  $0 \leq x \leq 1,6$ . Зразки з  $x \geq 1,7$  неоднофазні і містять низку додаткових фаз, основною з яких є фаза з кубічною структурою ( $a \approx 1,06$  нм). Методом Рітвельда визначена ромбічна (просторова група Fmmm) кристалічна структура фаз складу  $\text{SrLa}_{2-x}\text{Dy}_x\text{Sc}_2\text{O}_7$ , зі ступенями заміщення атомів лантану, рівними 0,5, 1,0 і 1,5. Основою кристалічної структури  $\text{SrLa}_{2-x}\text{Dy}_x\text{Sc}_2\text{O}_7$  є двовимірні (нескінчені в площині XY) перовськітоподібні блоки, які складаються з двох шарів, сполучених вершинами деформованих октаедрів  $\text{ScO}_6$ . Сусідні блоки розділені шаром поліедрів  $\text{A}_2\text{O}_9$  ( $\text{A}_2 = \text{Sr} + \text{Ln}$  ( $x=0, 0,5$  і 1,0) або  $\text{Ln}$  ( $x=1,5$ ) таким способом, що безпосередні зв'язки  $\text{Sc}-\text{O}-\text{Sc}$  між октаедрами сусідніх блоків відсутні. Блоки зв'язані між собою за допомогою зв'язків  $\text{O}-\text{A}_2-\text{O}$ . Вісім атомів оксигену поліедру  $\text{A}_2\text{O}_9$  належать до того ж блоку, що і атоми  $\text{A}_2$ , а дев'ятий атом оксигену належить сусідньому блоку. Атоми  $\text{A}_1$  ( $\text{A}_1 = \text{Sr} + \text{La}$  ( $x=0, 0,5$  і 1,0) або лише  $\text{Sr}$  ( $x=1,5$ )) знаходяться в позиції 4b у внутрішньоблокових пустотах шаруватої перовськітоподібної структури  $\text{SrLa}_{2-x}\text{Dy}_x\text{Sc}_2\text{O}_7$ , а їх координаційний поліедр являє собою деформований кубооктаедр  $\text{A}_1\text{O}_{12}$ . Встановлено, що ізовалентне заміщення атомів лантану на менші за розміром атоми диспрозію приводить до поступової зміни характеру розподілу атомів стронцію і лантанідів в міжблоковій (8i) і внутрішньоблоковій (4b) позиціях структури  $\text{SrLa}_{2-x}\text{Dy}_x\text{Sc}_2\text{O}_7$ ; від частково упорядкованого ( $x=0$ ) до повністю упорядкованого ( $x=1,5$ ). При цьому атоми диспрозію заміщують атоми стронцію на межі блоків, а зменшення вмісту атомів лантану у внутрішньоблоковій позиції 4b компенсується входженням в цю позицію атомів стронцію. Аналіз особливостей будови фаз  $\text{SrLa}_{2-x}\text{Dy}_x\text{Sc}_2\text{O}_7$  показав, що збільшення ступеня ізовалентного заміщення атомів лантану приводить до суттєвого (більш ніж в два рази) збільшення ступеня деформації міжблокових поліедрів  $\text{A}_2\text{O}_9$  і зменшенню довжини міжблокової відстані  $\text{A}_2-\text{O}$ . Такі структурні зміни, які приводять до дестабілізації міжблокової «зшивки», є одними з основних факторів руйнування шаруватої перовськітоподібної структури фаз  $\text{SrLa}_{2-x}\text{Dy}_x\text{Sc}_2\text{O}_7$  при  $x > 1,6$  і обумовлюють відсутність скандату  $\text{SrDy}_2\text{Sc}_2\text{O}_7$ . Одержані дані про взаємозв'язки склад—особливості будови шаруватої перовськітоподібної структури можуть бути використані для цілеспрямованого регулювання структурно залежних властивостей фаз типу  $\text{SrLa}_{2-x}\text{Dy}_x\text{Sc}_2\text{O}_7$ .

**Ключові слова:** сполуки типу  $\text{A}_{n+1}\text{B}_n\text{O}_{3n+1}$ , шарувата перовськітоподібна структура, рентгенівська порошкова дифрактометрія, ізоморфізм, тверді розчини.

**DOI:** 10.32434/0321-4095-2019-127-6-228-235

### **Вступ**

Синтез та дослідження нових сполук загального складу  $\text{A}_{n+1}\text{B}_n\text{O}_{3n+1}$  ( $n$  – число шарів октаедрів  $\text{BO}_6$  у перовськітоподібному блокі) з ша-

руватою перовськітоподібною структурою (ШПС) мають як теоретичне, так і практичне значення оскільки представникам цього сімейства притаманний широкий спектр цінних вла-

ствостей (зокрема, таких як люмінесцентні, резистивні, надпровідні, значний магнітоопір, сегнетоелектричні властивості, каталітична активність, тощо) [1–7].

Одним із дієвих способів впливу на будову і, відповідно, на структурно залежні властивості оксидних матеріалів є ізоморфні заміщення атомів в їх структурі. На даний час досить детально встановлено характер впливу ізоморфних заміщень на будову ШПС ряду одношарових ( $n=1$ ) ізовалентнозаміщених фаз типу  $A_{n+1}B_nO_{3n+1}$  ( $Sr_{1-x}Ca_xLaInO_4$  [8],  $Sr_{0,7}Ca_{0,3}LaScO_4$  [9],  $SrLa_{1-x}Ln^I_xInO_4$  ( $Ln=Nd, Sm$ ) [10,11] та  $SrNdSc_{1-x}In_xO_4$  [12]). Зважаючи на те, що функціональні характеристики сполук типу  $A_{n+1}B_nO_{3n+1}$  суттєво залежать від числа ( $n$ ) шарів октаедрів  $BO_6$  в первовськіоподібному блоці [2,3,7], безсумнівний інтерес становить встановлення взаємозв'язків склад—особливості будови також і для двошарових ( $n=2$ ) представників сполук та фаз типу  $A_{n+1}B_nO_{3n+1}$  з ШПС. Проте, досі таке дослідження здійснено лише для індатів складу  $Ba_{1-x}Sr_xLa_2In_2O_7$  [13].

Мета даної роботи — синтез, визначення будови двошарової кристалічної структури ізовалентнозаміщених фаз  $SrLa_{2-x}Dy_xSc_2O_7$  та встановлення взаємозв'язків склад—особливості будови їх ШПС. Використання такого типу заміщення дозволяє визначити вплив саме розмірного фактора на будову ШПС, оскільки атоми La і Dy відрізняються лише розмірами, а за більшістю решти характеристик є повними аналогами.

#### **Методика експерименту**

Синтез скандатів  $SrLa_{2-x}Dy_xSc_2O_7$  проводився шляхом спільної кристалізації (випаровування при інтенсивному перемішуванні) суміші водних розчинів нітратів Sr, La, Dy та Sc зі співвідношенням  $Sr:La:Dy:Sc=1:(2-x):x:2$ , з наступним термообробленням одержаного продукту на газовому пальнику для видалення основної маси оксидів нітрогену. Отриману таким способом шихту перетирали, пресували у вигляді дисків та піддавали термообробленню при 1570 K до досягнення незмінного фазового складу. Як вихідні у роботі використано нітрати Sr, La, Dy та Sc марок «х.ч.».

Рентгенівські дифракційні спектри полікристалічних зразків записано на дифрактометрі Shimadzu XRD-6000 в дискретному режимі (крок сканування  $0,02^\circ$ , експозиція в точці 7 с, інтервал кутів  $2\theta=20-75^\circ$ ) на мідному фільтрованому (дуговий графітовий монохроматор перед лічильником)  $CuK_\alpha$  випромінюванні. Кристалічна

структурна одержаних зразків визначена методом Рітвельда. Первинні оброблення дифракційних спектрів та структурні розрахунки виконано з використанням апаратно-програмного комплексу, як описано в [14].

#### **Результати та їх обговорення**

Результати рентгенівського дослідження кристалічних продуктів термообробки спільно закристалізованих нітратів Sr, La, Dy та Sc показали існування широкого ( $0 \leq x \leq 1,6$ ) діапазону фаз з двошаровою ШПС. Зразки валового складу  $SrLa_{2-x}Dy_xSc_2O_7$  з  $x \geq 1,7$  багатофазні і містять поряд з фазою з ШПС також фазу з кубічною структурою ( $a \approx 1,06$  нм) (вірогідно на основі  $Dy_2O_3$ ) та домішки неідентифікованих фаз.

Дифрактограми  $SrLa_{2-x}Dy_xSc_2O_7$  з ШПС подібні до дифрактограм незаміщеного  $SrLa_2Sc_2O_7$  (пр. гр. Fmmm [15]). Їх індексування показало належність ШПС  $SrLa_{2-x}Dy_xSc_2O_7$  до ромбічної сингонії. Систематика погасань відбиттів на дифрактограмах  $SrLa_{2-x}Dy_xSc_2O_7$  з ШПС (присутні відбиття:  $hkl$  з  $h+k=2n$ ,  $k+l=2n$ ,  $h+l=2n$ ,  $0kl$  з  $k+l=2n$ ,  $h0l$  з  $h+l=2n$ ,  $hk0$  з  $h+k=2n$ ,  $h00$ ,  $0k0$ ,  $00l$  з  $h$ ,  $k$ ,  $l=2n$ ) відповідає наступним просторовим групам: центросиметричній Fmmm та нецентросиметричним Fmm2 і F222. Тест на генерацію сигналу другої оптичної гармоніки лазерного випромінювання показав, що інтенсивність сигналів  $I_{2\omega}$  для фаз  $SrLa_{2-x}Dy_xSc_2O_7$  має той же порядок, що і для центросиметричного  $SrLa_2Sc_2O_7$ . Це дозволяє однозначно віднести кристалічну структуру фаз  $SrLa_{2-x}Dy_xSc_2O_7$  до центросиметричної просторової групи симетрії Fmmm. Лінійний характер залежності  $V_{\text{ел.ком}}=f(x)$  для фаз  $SrLa_{2-x}Dy_xSc_2O_7$  з ШПС дозволяє розглядати їх як обмежену низку твердих розчинів.

За об'єкти дослідження впливу ізовалентного заміщення атомів лантану на особливості будови ШПС були вибрані фази складу  $SrLa_{2-x}Dy_xSc_2O_7$  з  $x=0,5, 1,0$  та  $1,5$ .

Враховуючи подібність дифрактограм фаз  $SrLa_{2-x}Dy_xSc_2O_7$  з ШПС та скандату  $SrLa_2Sc_2O_7$ , первинне оцінювання координатних параметрів атомів для вихідних моделей структур фаз  $SrLa_{2-x}Dy_xSc_2O_7$  ( $x=0,5, 1,0$  та  $1,5$ ) здійснено за відомими структурними даними для скандату  $SrLa_2Sc_2O_7$  [15] (пр. гр. Fmmm). Співставлення експериментальних і розрахованих для таких моделей структури інтенсивностей показало їх задовільну збіжність. Результати уточнення моделей структури фаз  $SrLa_{2-x}Dy_xSc_2O_7$  ( $x=0,5, 1,0$  та  $1,5$ ) надано в табл. 1, 2 і на рис. 1. Уточнені шляхом розрахунку структури склади скандатів  $SrLa_{2-x}Dy_xSc_2O_7$  в межах похибики визначення

Таблиця 1

Структурні дані  $\text{SrLa}_{2-x}\text{Dy}_x\text{Sc}_2\text{O}_7$ 

Позиція	Атом	$\text{SrLa}_2\text{Sc}_2\text{O}_7$ [15]			$\text{SrLa}_{1,5}\text{Dy}_{0,5}\text{Sc}_2\text{O}_7$			$\text{SrLaDySc}_2\text{O}_7$			$\text{SrLa}_{0,5}\text{Dy}_{1,5}\text{Sc}_2\text{O}_7$						
		X	Y	Z	Заповнення	X	Y	Z	Заповнення	X	Y	Z	Заповнення	X	Y	Z	
4b	Sr1	0,59(2)	0	0	0,5	0,77(2)	0	0	0,5	0,85(2)	0	0	0,5	1	0	0	0,5
	La1	0,41(2)	0,21(2)	0,23(2)	0,11(2)	0,64(2)	0	0	0,3125	0,42(2)	0	0	0,3119	0,25(2)	0	0	0,3101
8i	Sr2	0,21(2)	0	0	0,3141(3)	0,64(2)	0	0	0,3125	0,42(2)	0	0	0,3119	0,25(2)	0	0	0,3101
	La2	0,79(2)	—	—	—	0,25(2)	1	0	0,1051	0,50(2)	1	0	0,1058	0,75(2)	1	0	0,1066
8c	Dy2	—	—	—	0,1002(3)	1	0	0	0,1051	1	0	0	0,1058	1	0	0	0,1066
	Sc	1	0	0	0,1002(3)	1	0	0	0,1051	1	0	0	0,1058	1	0	0	0,1066
4a	O1	1	0	0	0	0	1	0	0	0	1	0	0	1	0	0	0
8i	O2	1	0	0	0,206(2)	1	0	0	0,206	1	0	0	0,208	1	0	0	0,210
16j	O3	1	0,25	0,25	0,107(2)	1	0,25	0,25	0,124	1	0,25	0,25	0,125	1	0,25	0,25	0,127
Просторова група		Fmmm (№ 69)			Fmmm (№ 69)			Fmmm (№ 69)			Fmmm (№ 69)			Fmmm (№ 69)			
Періоди		a=0,5774(2)(2)	b=0,5737(2)	c=2,0537(7)	a=0,5763(3)	b=0,5769(2)	c=2,0418(6)	a=0,5752(2)	b=0,5750(1)	c=2,0233(5)	a=0,5747(4)	b=0,5721(3)	c=2,0007(9)				
Кристалічної гратки, нм																	
Незалежний відбиття		63		64				63		63		63					
Загальний ізотропний В фактор ( $\text{nm}^2$ )		0,7(1)·10 <sup>-2</sup>			1,65(7)·10 <sup>-2</sup>			1,71(6)·10 <sup>-2</sup>			1,12(7)·10 <sup>-2</sup>						
Фактор недостовірності $R_w$		0,061			0,054			0,043			0,050						

Таблиця 2

**Міжатомні відстані ( $d$ ) та ступені деформації ( $\Delta$ ) поліедрів  $(\text{Sr},\text{La},\text{Dy})\text{O}_6$  і  $\text{ScO}_6$  в кристалічній структурі  $\text{SrLa}_2\text{Sc}_2\text{O}_7$  і  $\text{SrLa}_{2-x}\text{Dy}_x\text{Sc}_2\text{O}_7$**

$\text{SrLa}_2\text{Sc}_2\text{O}_7$ [15]		$\text{SrLa}_{1.5}\text{Dy}_{0.5}\text{Sc}_2\text{O}_7$		$\text{SrLaDySc}_2\text{O}_7$		$\text{SrLa}_{0.5}\text{Dy}_{1.5}\text{Sc}_2\text{O}_7$	
Атом–атом	$d$ , нм	Атом–атом	$d$ , нм	Атом–атом	$d$ , нм	Атом–атом	$d$ , нм
$(\text{Sr},\text{La})1-2\text{O}1$	0,287(3)	$(\text{Sr},\text{La})1-2\text{O}1$	0,288(2)	$(\text{Sr},\text{La})1-2\text{O}1$	0,288(2)	$\text{Sr}1-2\text{O}1$	0,286(2)
$(\text{Sr},\text{La})1-2\text{O}1$	0,289(3)	$(\text{Sr},\text{La})1-2\text{O}1$	0,289(2)	$(\text{Sr},\text{La})1-2\text{O}1$	0,288(3)	$\text{Sr}1-2\text{O}1$	0,287(2)
$(\text{Sr},\text{La})1-8\text{O}3$	0,299(2)	$(\text{Sr},\text{La})1-8\text{O}3$	0,325(3)	$(\text{Sr},\text{La})1-8\text{O}3$	0,325(2)	$\text{Sr}1-8\text{O}3$	0,325(3)
Середня відстань $(\text{Sr},\text{La})1-\text{O}$	0,295	Середня відстань $(\text{Sr},\text{La})1-\text{O}$	0,313	Середня відстань $(\text{Sr},\text{La})1-\text{O}$	0,313	Середня відстань $\text{Sr}1-\text{O}$	0,312
$\Delta(\text{Sr},\text{La})1\text{O}_{12}$	$3 \cdot 10^{-4}$	$\Delta(\text{Sr},\text{La})1\text{O}_{12}$	$30 \cdot 10^{-4}$	$\Delta(\text{Sr},\text{La})1\text{O}_{12}$	$31 \cdot 10^{-4}$	$\Delta\text{Sr}1\text{O}_{12}$	$34 \cdot 10^{-4}$
$(\text{Sr},\text{La})2-\text{O}2$	0,222(2)*	$(\text{Sr},\text{La},\text{Dy})2-\text{O}2$	0,218(1)*	$(\text{Sr},\text{La},\text{Dy})2-\text{O}2$	0,210(2)*	$(\text{La},\text{Dy})2-\text{O}2$	0,200(1)*
$(\text{Sr},\text{La})2-4\text{O}3$	0,260(2)	$(\text{Sr},\text{La},\text{Dy})2-4\text{O}3$	0,242(2)	$(\text{Sr},\text{La},\text{Dy})2-4\text{O}3$	0,240(2)	$(\text{La},\text{Dy})2-4\text{O}3$	0,239(1)
$(\text{Sr},\text{La})2-2\text{O}2$	0,290(1)	$(\text{Sr},\text{La},\text{Dy})2-2\text{O}2$	0,291(2)	$(\text{Sr},\text{La},\text{Dy})2-2\text{O}2$	0,290(2)	$(\text{La},\text{Dy})2-2\text{O}2$	0,289(3)
$(\text{Sr},\text{La})2-2\text{O}2$	0,292(1)	$(\text{Sr},\text{La},\text{Dy})2-2\text{O}2$	0,291(3)	$(\text{Sr},\text{La},\text{Dy})2-2\text{O}2$	0,290(2)	$(\text{La},\text{Dy})2-2\text{O}2$	0,290(2)
Середня відстань $(\text{Sr},\text{La})2-\text{O}$	0,270	Середня відстань $(\text{Sr},\text{La},\text{Dy})2-\text{O}$	0,261	Середня відстань $\text{Sr},\text{La},\text{Dy}2-\text{O}$	0,259	Середня відстань $(\text{La},\text{Dy})2-\text{O}$	0,257
$\Delta(\text{Sr},\text{La})2\text{O}_9$	$68 \cdot 10^{-4}$	$\Delta(\text{Sr},\text{La},\text{Dy})2\text{O}_9$	$112 \cdot 10^{-4}$	$\Delta(\text{Sr},\text{La},\text{Dy})2\text{O}_9$	$127 \cdot 10^{-4}$	$\Delta(\text{La},\text{Dy})\text{O}_9$	$147 \cdot 10^{-4}$
$\text{Sc}-4\text{O}3$	0,204(1)	$\text{Sc}-4\text{O}3$	0,208(2)	$\text{Sc}-4\text{O}3$	0,207(1)	$\text{Sc}-4\text{O}3$	0,207(2)
$\text{Sc}-\text{O}1$	0,206(2)	$\text{Sc}-\text{O}1$	0,215(3)	$\text{Sc}-\text{O}1$	0,214(2)	$\text{Sc}-\text{O}1$	0,213(3)
$\text{Sc}-\text{O}2$	0,217(3)	$\text{Sc}-\text{O}2$	0,206(2)	$\text{Sc}-\text{O}2$	0,207(1)	$\text{Sc}-\text{O}2$	0,207(1)
Середня відстань $\text{Sc}-\text{O}$	0,207	Середня відстань $\text{Sc}-\text{O}$	0,209	Середня відстань $\text{Sc}-\text{O}$	0,209	Середня відстань $\text{Sc}-\text{O}$	0,208
$\Delta\text{ScO}_6$	$5 \cdot 10^{-4}$	$\Delta\text{ScO}_6$	$2 \cdot 10^{-4}$	$\Delta\text{ScO}_6$	$2 \cdot 10^{-4}$	$\Delta\text{ScO}_6$	$1 \cdot 10^{-4}$

Примітки: розрахунок ступеня деформації октаедрів  $\text{MeO}_n$  виконано за формулою:  $\Delta=1/n\Sigma[(R_i-\bar{R})/\bar{R}]^2$  ( $R_i$  – відстань  $\text{Me}-\text{O}$ ,  $\bar{R}$  – середня відстань  $\text{Me}-\text{O}$ ,  $n$  – координаційне число); \* – міжблочна відстань.

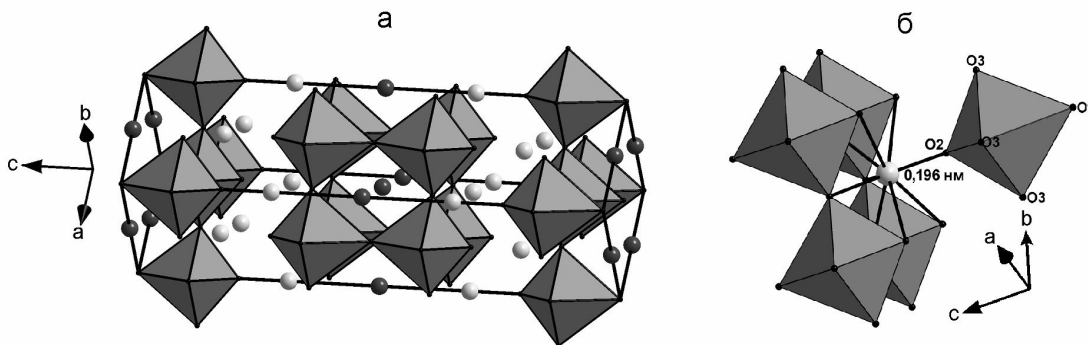


Рис. 1. Кристалічна структура  $\text{SrLaDySc}_2\text{O}_7$  у вигляді октаедрів  $\text{ScO}_6$  та атомів  $(\text{Sr}, \text{La})1$  (темні кружечки) і атомів  $(\text{Sr}, \text{La}, \text{Dy})2$  (світлі кружечки) (а) та будова міжблокової границі в ШПС  $\text{SrLa}_{0.5}\text{Dy}_{1.5}\text{Sc}_2\text{O}_7$  у вигляді октаедрів  $\text{ScO}_6$  і атомів  $(\text{La}, \text{Dy})2$  (світлий кружечок) (б)

відповідають експериментально заданим.

Кристалічна структура  $\text{SrLa}_{2-x}\text{Dy}_x\text{Sc}_2\text{O}_7$  ( $x=0,5, 1,0$  та  $1,5$ ) є шаровою і утворена двовимірними (некінченними в напрямках осей X і Y) перовськітоподібними блоками, кожен з яких складається з двох шарів деформованих окта-

едрів  $\text{ScO}_6$  (рис. 1,а). Октаедри  $\text{ScO}_6$  в блоках з'єднані лише вершинами, причому кожний октаедр має п'ять спільних вершин з суміжними октаедрами одного і того ж блоку. В напрямку діагоналі площини XY сусідні блоки зміщені один відносно іншого на половину ребра пе-

ровськітового кубу і чергуються один з одним. Сусідні перовськітоподібні блоки в ШПС  $\text{SrLa}_{2-x}\text{Dy}_x\text{Sc}_2\text{O}_7$ , розділені шаром поліедрів  $\text{A}_2\text{O}_9$ , ( $\text{A}_2=\text{Sr}+\text{Ln}$  ( $x=0, 0,5$  та  $1$ ), або  $\text{A}_2=\text{Ln}$  ( $x=1,5$ )), і утримуються разом за допомогою міжблокових зв'язків  $-\text{O}-\text{A}_2-\text{O}-$ . Вісім атомів окисигену поліедру  $\text{A}_2\text{O}_9$  (четири  $\text{O}_2$  та чотири  $\text{O}_3$ ) належать до того ж блока, що і атоми  $\text{A}_2$ , а дев'ятий атом окисигену ( $\text{O}_2$ ) належить до сусіднього блока (рис. 1, б). При цьому довжина зазначеного міжблокового зв'язку  $\text{A}_2-\text{O}_2$  ( $0,222-0,200$  нм) найменша серед усіх зв'язків поліедра  $\text{A}_2\text{O}_9$ . Слід зазначити, що із дев'яти атомів окисигену поліедра  $\text{A}_2\text{O}_9$  чотири атоми  $\text{O}_2$  розташовані на значно більших відстанях ( $0,289(3)-0,292(1)$  нм (табл. 2)) від атома типу  $\text{A}_2$  ніж решта, тому (з врахуванням наявності одного дуже короткого міжблокового зв'язку  $\text{A}_2-\text{O}_2$ ) координаційне число центральних атомів в поліедрі  $\text{A}_2\text{O}_9$  можна розглядати як  $1+4+4$ . У внутрішньоблокових пустотах ШПС  $\text{SrLa}_{2-x}\text{Dy}_x\text{Sc}_2\text{O}_7$  в позиції  $4b$  розташовані кубооктаедри  $\text{AlO}_{12}$  ( $\text{Al}=\text{Sr}+\text{La}$  ( $x=0, 0,5$  і  $1$ ), або лише  $\text{Sr}$  ( $x=1,5$ )) (табл. 2).

Співставлення заповненості атомами  $\text{Sr}$ ,  $\text{La}$  і  $\text{Dy}$  міжблокової ( $8i$ ) та внутрішньоблокової ( $4b$ ) позицій в ШПС  $\text{SrLa}_{2-x}\text{Dy}_x\text{Sc}_2\text{O}_7$  показало, що зі збільшенням ступеня заміщення атомів лантану на атоми диспрозію має місце поступова зміна характеру розподілу атомів стронцію та рідкісноземельних елементів (РЗЕ) в ШПС: від частково упорядкованого ( $x=0$ ) до повністю упорядкованого ( $x=1,5$ ) (табл. 2). Це відбувається за рахунок входження менших за розміром атомів диспрозію лише в міжблокову позицію  $8i$  із од-

ночасним зменшенням вмісту великих атомів стронцію на межі блоків (рис. 2). Одночасно, зі зменшенням вмісту атомів лантану у фазах  $\text{SrLa}_{2-x}\text{Dy}_x\text{Sc}_2\text{O}_7$ , його частка в внутрішньоблоковій позиції  $4b$  заповнюється атомами стронцію (табл. 2, рис. 2). Збільшення вмісту менших атомів диспрозію в міжблоковій позиції  $8i$  ШПС  $\text{SrLa}_{2-x}\text{Dy}_x\text{Sc}_2\text{O}_7$  позиції обумовлює зменшення розмірів поліедрів  $\text{A}_2\text{O}_9$  (рис. 3).

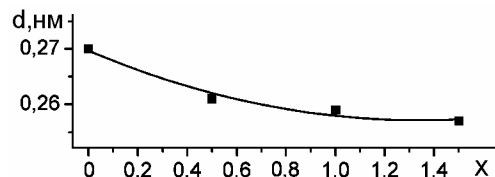


Рис. 3. Залежності довжини середньої відстані  $\text{A}_2-\text{O}$  в поліедрах  $\text{A}_2\text{O}_9$  ШПС фаз  $\text{SrLa}_{2-x}\text{Dy}_x\text{Sc}_2\text{O}_7$  від ступеня заміщення атомів лантану (значення  $x$ )

Цікаво відзначити, що аналогічний перехід розподілу атомів стронцію і РЗЕ (від частково упорядкованого до повністю упорядкованого) має місце і в ряду незаміщених скандатів  $\text{SrLn}_2\text{Sc}_2\text{O}_7$  ( $\text{Ln}=\text{La}-\text{Tb}$ ) при  $\text{Ln}=\text{Eu}$  [15]. При цьому значення середнього кристалічного іонного радіусу атомів А-позиції ШПС для  $\text{SrEu}_2\text{Sc}_2\text{O}_7$  співпадає з таким для  $\text{SrLa}_{0,5}\text{Dy}_{1,5}\text{Sc}_2\text{O}_7$  (0,132 нм для КЧ 9). Такий характер зміни розподілу атомів стронцію та РЗЕ обумовлений, очевидно, прагненням відносно менших за розміром атомів РЗЕ заселяти менші за розміром поліедри  $\text{A}_2\text{O}_9$ .

Порівняння величин міжблокових відстаней  $\text{A}_2-\text{O}_2$  і ступеня деформації ( $\Delta$ ) поліедрів  $\text{A}_2\text{O}_9$  в кристалічній структурі  $\text{SrLa}_{2-x}\text{Dy}_x\text{Sc}_2\text{O}_7$  показало різний характер їх залежностей від вмісту атомів диспрозію. Зокрема, збільшення ступеня ізовалентного заміщення атомів лантану супроводжується суттєвим (більше ніж в 2 рази) збільшенням ступеня деформації міжблокових поліедрів  $\text{A}_2\text{O}_9$  з одночасним зменшенням при цьому довжини міжблокової відстані  $\text{A}_2-\text{O}_2$  (рис. 4).

При цьому значення  $\Delta$  ( $\text{La}, \text{Dy}$ ) $\text{O}_9$  для фази  $\text{SrLa}_{0,5}\text{Dy}_{1,5}\text{Sc}_2\text{O}_7$  ( $147 \cdot 10^{-4}$ ) зі ступенем заміщення атомів лантану, близьким до максимально можливого ( $x=1,6$ ), практично співпадає з таким для крайнього члену ряду незаміщених двошарових скандатів  $\text{SrTb}_2\text{Sc}_2\text{O}_7$  ( $149 \cdot 10^{-4}$  [15]). Крім того, слід відзначити, що зі збільшенням ступеня ізовалентного заміщення атомів лантану довжина міжблокової відстані  $\text{A}_2-\text{O}_2$  в поліедрі

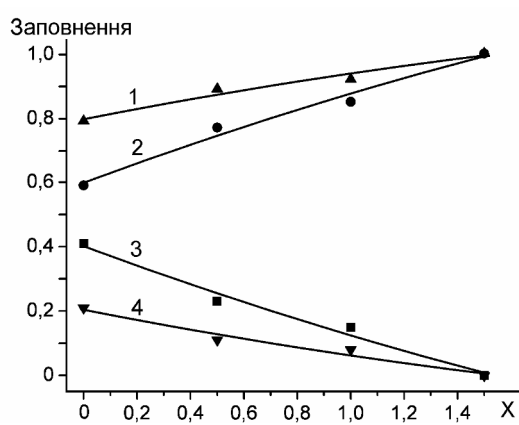


Рис. 2. Залежності заповнення в ШПС  $\text{SrLa}_{2-x}\text{Dy}_x\text{Sc}_2\text{O}_7$  міжблокової позиції  $8i$  атомами РЗЕ ( $\text{La}+\text{Dy}$ ) (1) і атомами  $\text{Sr}$  (2) та внутрішньоблокової позиції  $4b$  атомами  $\text{Sr}$  (3) і атомами  $\text{La}$  (4) від ступеня заміщення атомів Лантану (значення  $x$ )

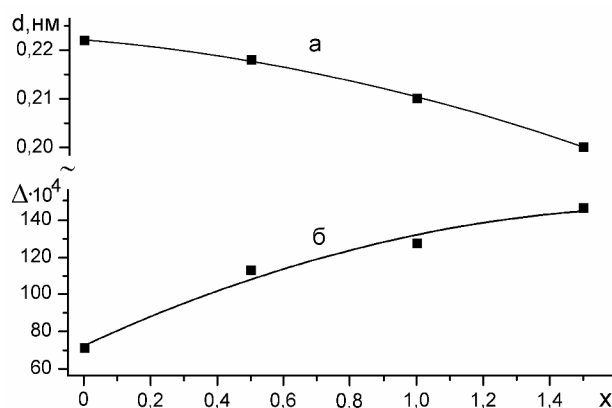


Рис. 4. Залежності довжини міжблокової відстані A2—O2 (а) та ступеня деформації міжблочних поліедрів A2O<sub>9</sub> в ШПС фаз SrLa<sub>2-x</sub>Dy<sub>x</sub>Sc<sub>2</sub>O<sub>7</sub> (б) від ступеня заміщення атомів лантану (значення x)

A2O<sub>9</sub> ШПС SrLa<sub>2-x</sub>Dy<sub>x</sub>Sc<sub>2</sub>O<sub>7</sub> наближається до мінімально відомих відстаней Dy—O (~0,2 нм). Послідовне зменшення міжблокової відстані A2—O2 в ряду скандатів SrLa<sub>2-x</sub>Dy<sub>x</sub>Sc<sub>2</sub>O<sub>7</sub> є, очевидно, також і причиною поступового витіснення великих іонів стронцію із міжблокового простору (позиція 8i) у внутрішньоблокові кубооктаедричні пустоти перовськітоподібного блока (позиція 4b) (табл. 2), результатом чого є зміна частково упорядкованого розміщення атомів стронцію і РЗЕ у ШПС SrLa<sub>2</sub>Sc<sub>2</sub>O<sub>7</sub> на повністю упорядковане у ШПС SrLa<sub>0,5</sub>Dy<sub>1,5</sub>Sc<sub>2</sub>O<sub>7</sub>.

Зі збільшенням вмісту великих атомів стронцію у внутрішньоблокових кубооктаедрах A1O<sub>12</sub> їх розміри та ступень деформації зростають, причому основний вклад в зростання середньої відстані A1—O вносить суттєве (на 0,026 нм) збільшення відстаней A1—8O3. Це дає підстави інтерпретувати координаційне число атомів типу A1 в поліедрах A1O<sub>12</sub> ШПС SrLa<sub>2-x</sub>Dy<sub>x</sub>Sc<sub>2</sub>O<sub>7</sub> (x=0,5, 1 та 1,5) як 4+8.

Аналіз одержаних експериментальних даних про зміни в будові ШПС в ряду скандатів SrLa<sub>2-x</sub>Dy<sub>x</sub>Sc<sub>2</sub>O<sub>7</sub> дає підстави для висновку, що однією з основних причин руйнування ШПС при x>1,6 є дестабілізація міжблокової «зшивки» з шару поліедрів A2O<sub>9</sub> внаслідок зростання їх деформованості та зменшення міжблокової відстані A2—O2, яке наближає двовимірну будову ШПС до термодинамічно значно стабільнішої тривимірної структури.

Співставлення особливостей будови ШПС двошарових скандатів SrLa<sub>2-x</sub>Dy<sub>x</sub>Sc<sub>2</sub>O<sub>7</sub> та одношарових індатів SrLa<sub>1-x</sub>Ln<sub>x</sub>InO<sub>4</sub> (Ln=Nd, Sm) [10,11] показало, що при ізовалентному замі-

щенні атомів РЗЕ характер змін довжин міжблокових відстаней та ступенів деформації міжблокових поліедрів A2O<sub>9</sub> є протилежними. Ймовірною причиною цього є наявність в двошаровій ШПС сполук типу A<sub>n+1</sub>B<sub>n</sub>O<sub>3n+1</sub> двох типів поліедрів атомів типу A: внутрішньоблокових A1O<sub>12</sub> та зовнішньоблокових A2O<sub>9</sub>, в той час як в одношаровій ШПС є лише один тип поліедрів атомів типу A—зовнішньоблоковий A2O<sub>9</sub>. Це відкриває можливість впорядкованого перерозподілу атомів Sr, La і Dy між поліедрами A1O<sub>12</sub> та A2O<sub>9</sub> в двошаровій ШПС SrLa<sub>2-x</sub>Dy<sub>x</sub>Sc<sub>2</sub>O<sub>7</sub> і приводить до зменшення міжблокової відстані A2—O2 та збільшення DA2O<sub>9</sub> при збільшенні ступеня ізовалентного заміщення атомів лантану.

### Висновки

В даній роботі встановлені умови ізовалентного заміщення атомів лантану на атоми диспрозію в двошаровій структурі скандату SrLa<sub>2</sub>Sc<sub>2</sub>O<sub>7</sub> по типу SrLa<sub>2-x</sub>Dy<sub>x</sub>Sc<sub>2</sub>O<sub>7</sub> та методом Рітвельда визначена будова ШПС фаз SrLa<sub>1,5</sub>Dy<sub>0,5</sub>Sc<sub>2</sub>O<sub>7</sub>, SrLaDySc<sub>2</sub>O<sub>7</sub> і SrLa<sub>0,5</sub>Dy<sub>1,5</sub>Sc<sub>2</sub>O<sub>7</sub>. Аналіз одержаних даних дозволив виявити взаємозв'язки між особливостями будови ШПС фаз SrLa<sub>2-x</sub>Dy<sub>x</sub>Sc<sub>2</sub>O<sub>7</sub> (характером розподілу атомів Sr, La і Dy по поліедрам A1O<sub>12</sub> та A2O<sub>9</sub>, довжиною міжблокових зв'язків A2—O2, ступенем деформації міжблокових поліедрів A2O<sub>9</sub>) та ступенем ізовалентного заміщення атомів лантану. Одержані результати можуть бути використані для регулювання структурно залежних (люмінесценційних, електрофізичних та інших) властивостей матеріалів на основі скандату SrLa<sub>2</sub>Sc<sub>2</sub>O<sub>7</sub>.

### СПИСОК ЛІТЕРАТУРИ

1. Александров К.С., Безносиков Б.В. Перовскиты. Настоящее и будущее. – Новосибирск: Изд-во СО РАН, 2004. – 231 с.
2. Kamimura S., Yamada H., Xu C.-N. Strong reddish-orange light emission from stress-activated Sr<sub>n+1</sub>Sn<sub>n</sub>O<sub>3n+1</sub>:Sm<sup>3+</sup> (n=1,2,∞) with perovskite-related structures // Appl. Phys. Lett. – 2012. – Vol.101. – No. 9. – P.91-113.
3. Kim I.S., Nakamura T., Itoh M. Humidity sensing effects of the layered oxides SrO·(LaSc<sub>2</sub>O<sub>3</sub>)<sub>n</sub> (n=1,2,∞) // J. Ceram. Soc. Jap. – 1993. – Vol.101. – No. 7. – P.800-803.
4. Crystal structure and luminescence of layered perovskites Sr<sub>3</sub>LnInSnO<sub>8</sub> / Titov Yu., Nedilko S.G., Chornii V., Scherbatskii V., Belyavina N., Markiv V., Polubinskii V. // Solid State Phenom. – 2015. – Vol.230. – P.67-72.
5. Synthesis and oxide ion conductivity of new layered perovskite La<sub>1-x</sub>Sr<sub>1+x</sub>InO<sub>4-d</sub> / Kato S., Ogasawara M., Sugai M., Nakata S. // Solid State Ionics. – 2002. – Vol.149. – No. 1–2.

– P.53-57.

6. Prado F., Manthiram A. Synthesis, crystal chemistry, and electrical and magnetic properties of  $\text{Sr}_3\text{Fe}_{2-x}\text{Co}_x\text{O}_{7-\delta}$  ( $0 \leq x \leq 0.8$ ) // J. Solid State Chem. – 2001. – Vol.158. – No. 2. – P.307-314.

7. Structural and dielectric studies on the new series of layered compounds, strontium lanthanum scandium oxides / Kim I.S., Kawaji H., Itoh M., Nakamura T. // Mater. Res. Bull. – 1992. – Vol.27. – No. 10. – P.1193-1203.

8. Вплив складу на будову шаруватої первоскітоподібної структури іннатів  $\text{A}''\text{LaInO}_4$  / Титов Ю.О., Білявина Н.М., Слободянік М.С., Бабарик А.А., Тимошенко М.В. // Доповіді Нац. академії наук України. – 2017. – № 4. – С.70-75.

9. Effect of size factor on the Ruddlesden-Popper single-slab compounds structure features / Titov Y.A., Belyavina N.N., Slobodyanik M.S., Nakonechna O.I., Strutynska N.Y. // French-Ukr. J. Chem. – 2019. – Vol.7 – No. 1. – P.10-15.

10. Вплив заміщення атомів лантану на будову шаруватої структури іннатів  $\text{SrLa}_{1-x}\text{Nd}_x\text{InO}_4$  / Титов Ю.О., Білявина Н.М., Слободянік М.С., Чумак В.В., Наконечна О.І. // Вопр. химии и хим. технологий. – 2019. – № 1. – С.67-72.

11. Синтез та особливості будови шаруватої структури  $\text{SrLa}_{1-x}\text{Sm}_x\text{InO}_4$  / Титов Ю.О., Білявина Н.М., Слободянік М.С., Чумак В.В., Тимошенко М.В., Томазенко Л.В. // Доповіді Нац. академії наук України. – 2019. – № 1. – С.72-78.

12. Вплив складу на будову шаруватої структури  $\text{SrNdSc}_{1-x}\text{In}_x\text{O}_4$  / Титов Ю.О., Білявина Н.М., Слободянік М.С., Чумак В.В., Наконечна О.І. // Вопр. химии и хим. технологии. – 2019. – № 3. – С.53-58.

13. Кристалічна структура ізовалентнозаміщених шаруватих іннатів  $\text{Ba}_{1-x}\text{Sr}_x\text{La}_2\text{In}_2\text{O}_7$  / Титов Ю.О., Білявина Н.М., Слободянік М.С., Чумак В.В. // Доповіді Нац. академії наук України. – 2016. – № 6. – С.95-102.

14. Phase transformations at mechanical milling of the equiautomic Y–Cu powder mixture / Dashevskyi M., Boshko O., Nakonechna O., Belyavina N. // Металлофізика и новейшие технологии. – 2017. – Vol.39. – No. 4. – P.541-552.

15. Синтез та кристалічна структура шаруватих скандатів  $\text{SrLn}_2\text{Sc}_2\text{O}_7$  / Титов Ю.О., Білявіна Н.М., Марків В.Я., Слободянік М.С., Краєвська Я.А., Чумак В.В. // Доповіді Нац. академії наук України. – 2009. – № 3. – С.155-161.

Надійшла до редакції 05.09.2019

## SYNTHESIS AND CRYSTAL STRUCTURE OF ISOVALENTLY SUBSTITUTED SLAB $\text{SrLa}_{2-x}\text{Dy}_x\text{Sc}_2\text{O}_7$ SCANDATES

Y.A. Titov <sup>a,\*</sup>, N.M. Belyavina <sup>a</sup>, M.S. Slobodyanik <sup>a</sup>,  
V.V. Chumak <sup>b</sup>, O.I. Nakonechna <sup>a</sup>

<sup>a</sup> Taras Shevchenko National University of Kyiv, Kyiv, Ukraine

<sup>b</sup> Zhytomyr Ivan Franko State University, Zhytomyr, Ukraine

\* e-mail: tit@univ.kiev.ua

The conditions of isovalent substitution of lanthanum atoms for dysprosium atoms in A-positions of the  $\text{SrLa}_2\text{Sc}_2\text{O}_7$  two-slab perovskite-like structure of the  $\text{SrLa}_2\text{Sc}_{2-x}\text{In}_x\text{O}_7$  type have been determined as follows:  $0 \leq x \leq 1.60$ . Samples with  $x \geq 1.7$  are multiphase and contain a number of additional phases, the main one being the phase with a cubic structure ( $a \approx 1.06$  nm). Orthorhombic crystal structure (Fmmm space group) of the  $\text{SrLa}_{2-x}\text{Dy}_x\text{Sc}_2\text{O}_7$  phases with the substitution degree of lanthanum atoms of 0.5, 1.0 and 1.5 was determined by the Rietveld method. The  $\text{SrLa}_{2-x}\text{Dy}_x\text{Sc}_2\text{O}_7$  crystalline structure is based on two-dimensional (infinite in the XY plane) perovskite-like blocks, consisting of two slabs connected by vertices deformed  $\text{ScO}_6$  octahedra. Neighboring blocks are separated by a slab of  $\text{A}_2\text{O}_9$  polyhedra ( $\text{A}_2 = \text{Sr} + \text{Ln}$  ( $x=0$ ; 0.5 and 1.0) or  $\text{Ln}$  ( $x=1.5$ ) in such a way that there are no direct  $\text{Sc}-\text{O}-\text{Sc}$  bonds between the octahedra of neighboring blocks. The blocks are connected through the  $\text{O}-\text{A}_2-\text{O}$  bonds. Eight oxygen atoms of the  $\text{A}_2\text{O}_9$  polyhedron belong to the same block as the  $\text{A}_2$  atoms, and the ninth oxygen atom belongs to the neighboring block.  $\text{A}_1$  atoms ( $\text{A}_1 = \text{Sr} + \text{La}$  ( $x=0$ , 0.5 and 1) or only  $\text{Sr}$  ( $x=1.5$ )) are located at 4b position in the intrablock voids of the  $\text{SrLa}_{2-x}\text{Dy}_x\text{Sc}_2\text{O}_7$  slab perovskite-like structure and their coordination polyhedron is a deformed  $\text{AlO}_{12}$  cuboctahedron. It is established that isovalent substitution of lanthanum atoms by smaller dysprosium atoms leads to a gradual change in the distribution of strontium and lanthanides atoms in the interblock (8i) and intrablock (4b) positions of the  $\text{SrLa}_{2-x}\text{Dy}_x\text{Sc}_2\text{O}_7$  structure: from partially ordered ( $x=0$ ) to fully ordered ( $x=1.5$ ). In this case, dysprosium atoms replace strontium atoms at the block boundary, and the decrease in the content of lanthanum atoms in the 4b intrablock position is compensated by the strontium atoms invasion. Analysis of the structural features of the  $\text{SrLa}_{2-x}\text{Dy}_x\text{Sc}_2\text{O}_7$  phases showed that an increase in the degree of isovalent substitution of lanthanum atoms leads to a significant (more than twofold) increase in the deformation degree of the  $\text{A}_2\text{O}_9$  interblock polyhedra and a decrease in the  $\text{A}_2-\text{O}$  interblock length. Such structural changes, which result in a destabilization of the interblock «stitching», become one of the main destruction factors of the layered perovskite-like structure of the  $\text{SrLa}_{2-x}\text{Dy}_x\text{Sc}_2\text{O}_7$  phases at  $x > 1.6$  and cause the absence of the  $\text{SrDy}_2\text{Sc}_2\text{O}_7$  scandate. The obtained data on the composition/structural features relations of the slab perovskite-like structure could be used for the purposeful regulation of the structure-sensitive properties of the  $\text{SrLa}_{2-x}\text{Dy}_x\text{Sc}_2\text{O}_7$  type phases.

**Keywords:** compounds of  $\text{A}_n\text{B}_{n-1}\text{O}_{3n}$ -type; slab perovskite-like structure; X-ray powder diffraction; isomorphism; solid solutions.

## REFERENCES

1. Alexandrov K.C., Beznosikov B.V., *Perovskity. Nastoyashcheye i budushcheye* [Perovskites: present and future]. SO RAN Publishers, Novosibirsk, 2004. 231 p. (in Russian).
2. Kamimura S., Yamada H., Xu C.N. Strong reddish-orange light emission from stress-activated  $\text{Sr}_{n+1}\text{Sn}_n\text{O}_{3n+1}\text{:Sm}^{3+}$  ( $n=1,2,\infty$ ) with perovskite-related structures. *Applied Physics Letters*, 2012, vol. 101, article no. 091113.
3. Kim I.-S., Nakamura T., Itoh M. Humidity sensing effects of the layered oxides  $\text{SrO}(\text{LaScO}_3)_n$  ( $n=1,2,\infty$ ). *Journal of the Ceramic Society of Japan*, 1993, vol. 101, pp. 800-803.
4. Titov Yu., Nedilko S.G., Chornii V., Scherbatskii V., Belyavina N., Markiv V., Polubinskii V. Crystal structure and luminescence of layered perovskites  $\text{Sr}_x\text{LnInSnO}_8$ . *Solid State Phenomena*, 2015, vol. 230, pp. 67-72.
5. Kato S., Ogasawara M., Sugai M., Nakata S. Synthesis and oxide ion conductivity of new layered perovskite  $\text{La}_{1-x}\text{Sr}_{1+x}\text{InO}_{4-d}$ . *Solid State Ionics*, 2002, vol. 149, pp. 53-57.
6. Prado F., Manthiram A. Synthesis, crystal chemistry, and electrical and magnetic properties of  $\text{Sr}_3\text{Fe}_{2-x}\text{Co}_x\text{O}_{7-\delta}$  ( $0 \leq x \leq 0.8$ ). *Journal of Solid State Chemistry*, 2001, vol. 158, pp. 307-314.
7. Kim I.S., Kawaji H., Itoh M., Nakamura T. Structural and dielectric studies on the new series of layered compounds, strontium lanthanum scandium oxides. *Materials Research Bulletin*, 1992, vol. 27, pp. 1193-1203.
8. Titov Y.O., Belyavina N.M., Slobodyanik M.S., Babaryk A.A., Timoschenko M.V. Vplyv skladu na budovu sharuvatoh perovskitopodobnoi struktury indativ  $\text{A}^{\text{II}}\text{LaInO}_4$  [Influence of composition on organization of layered perovskite-like structure of indates  $\text{A}^{\text{II}}\text{LaInO}_4$ ]. *Dopovidi Natsionalnoi Akademii Nauk Ukrainskoyi*, 2017, no. 4, pp. 70-75. (in Ukrainian).
9. Titov Y.A., Belyavina N.N., Slobodyanik M.S., Nakonechna O.I., Strutynska N.Y. Effect of size factor on the Ruddlesden-Popper single-slab compounds structure features. *French-Ukrainian Journal of Chemistry*, 2019, vol. 7, no. 1, pp. 10-15.
10. Titov Y.A., Belyavina N.M., Slobodyanik M.S., Chumak V.V., Nakonechna O.I. Vplyv zamishchennya atomiv lantanu na budovu sharuvatoh struktury indativ  $\text{SrLa}_{1-x}\text{Nd}_x\text{InO}_4$  [Effect of isovalent substitution of lanthanum atoms on the slab structure of indates  $\text{SrLa}_{1-x}\text{Nd}_x\text{InO}_4$ ]. *Voprosy Khimii i Khimicheskoi Tekhnologii*, 2019, no. 1, pp. 67-72. (in Ukrainian).
11. Titov Y.O., Belyavina N.M., Slobodyanik M.S., Chumak V.V., Timoschenko M.V., Tomazenko L.V. Syntez ta osoblyvosti budovy sharuvatoh struktury  $\text{SrLa}_{1-x}\text{Sm}_x\text{InO}_4$  [Synthesis and structural features of slab structure  $\text{SrLa}_{1-x}\text{Sm}_x\text{InO}_4$ ]. *Dopovidi Natsionalnoi Akademii Nauk Ukrainskoyi*, 2019, no. 1, pp. 72-78. (in Ukrainian).
12. Titov Y.A., Belyavina N.M., Slobodyanik M.S., Chumak V.V., Nakonechna O.I. Vplyv skladu na budovu sharuvatoh struktury  $\text{SrNdSc}_{1-x}\text{In}_x\text{O}_4$  [Effect of composition on the  $\text{SrNdSc}_{1-x}\text{In}_x\text{O}_4$  slab structure]. *Voprosy Khimii i Khimicheskoi Tekhnologii*, 2019, no. 3, pp. 53-58. (in Ukrainian).
13. Titov Y.O., Belyavina N.M., Slobodyanik M.S., Chumak V.V. Krystalichna struktura izovalentnozamishchenykh sharuvatykh indativ  $\text{Ba}_{1-x}\text{Sr}_x\text{La}_2\text{In}_2\text{O}_7$  [Crystal structure of isovalent substituted layered indates  $\text{Ba}_{1-x}\text{Sr}_x\text{La}_2\text{In}_2\text{O}_7$ ]. *Dopovidi Natsionalnoi Akademii Nauk Ukrainskoyi*, 2016, no. 6, pp. 95-102. (in Ukrainian).
14. Dashevskyi M., Boshko O., Nakonechna O., Belyavina N. Phase transformations in equiatomic Y-Cu powder mixture at mechanical milling. *Metallofizika i Noveishie Tekhnologii*, 2017, vol. 39, no. 4, pp. 541-552.
15. Titov Y.O., Belyavina N.M., Markiv V.Ya., Slobodyanik M.S., Krayevska Ya.A., Chumak V.V. Syntez ta krystalichna struktura sharuvatykh skandativ  $\text{SrLn}_2\text{Sc}_2\text{O}_7$  [Synthesis and crystal structure of layer scandates  $\text{SrLn}_2\text{Sc}_2\text{O}_7$ ]. *Dopovidi Natsionalnoi Akademii Nauk Ukrainskoyi*, 2009, no. 3, pp. 155-161. (in Ukrainian).